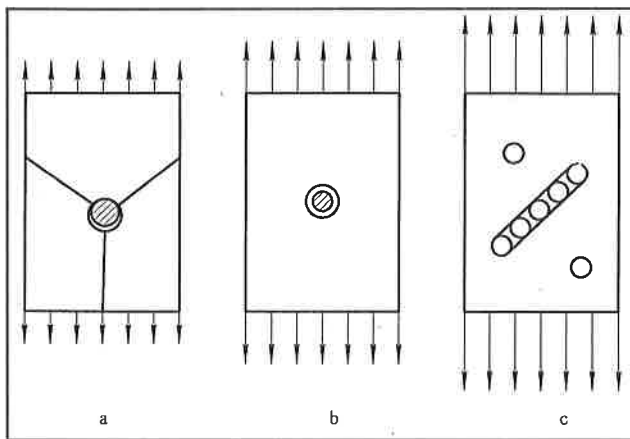


Sima próbatest szakítóvizsgálata a módosított Gurson-féle szívós törési elmélet alapján

Dr.Krállics György* – Tatár Levente*

Bevezetés

A szívós törés jelenségének megértésében fontos szerepet játszanak a mikroüregek keletkezésével, növekedésével és összenövésével kapcsolatos fizikai folyamatok. Az üregek keletkezése elsősorban az anyagban lévő második fázisú kiválásokkal függ össze, amikor is az alakváltozás során az alapfém mátrixa és a második fázis kohéziós kapcsolata megszűnik (1.a.ábra). Az alakváltozás folyamán a mikroüregek növekednek (1.b.ábra), majd a terhelés egy kritikus állapotában a mikroüregek összenőnek (1.c.ábra) és egy makroszkopikus repedést alkotnak, amelynek megjelenése a szerkezet terhelhetőségének drasztikus csökkenését eredményezi.



1.ábra. Mikroüregek keletkezése (a), növekedése (b) és összenövése (c)

McClintok [1], Rice és Tracey [2] munkáira alapozva Gurson [3] dolgozott ki egy komplett elméletet porózus anyagok alakváltozására és törésére. Az elmélet jelentősége abban foglalható össze, hogy az alakváltozás hagyományos kontinuum-mechanikai leírásmodját összekapcsolta az üregképződés és növekedés mikro-mechanikai folyamataival, vagyis különböző léptékű jelenségeket foglalt szerves egységbe, ezzel jelentősen hozzájárult egy új tudományterület a *continuum damage mechanics* (a károsodások kontinuum mechanikája) kialakításához.

Alapegyenletek

Gurson szerint a gömb alakú mikroüregeket tartalmazó testben a makroszkopikus feszültségek az alábbi folyási feltételt elégíti ki:

$$f = \frac{\sigma_e^2}{\sigma_M^2} + 2f \operatorname{ch} \left(\frac{\sigma_{kk}}{2\sigma_M} \right) - 1 - f^2 = 0 \quad (1)$$

ahol σ_M – a hibátlan mátrix anyag egyenértékű feszültsége, σ_e – a makroszkopikus egyenértékű feszültség, σ_{kk} – a makroszkopikus feszültségtenzor első skalár invariánsa, f – a mikroüregek térfogati hányada.

Az anyagtörvény felírásakor a folyási elméletet alkalmazta. A makroszkopikus alakváltozási sebességtenzor két részből tevődik össze, a rugalmasból és a képlékenyből.

$$\dot{\epsilon}_{ij} = \dot{\epsilon}_{ij}^e + \dot{\epsilon}_{ij}^p \quad (2)$$

A képlékeny alakváltozási sebesség az (1) folyási függvényből lezármasztatva

$$\dot{\epsilon}_{ij}^p = \frac{1}{E_t} \frac{\partial \phi}{\partial \sigma_{ij}} \frac{\partial \phi}{\partial \sigma_{kk}} \dot{\sigma}_{ij} \quad (3)$$

ahol E_t – a mátrix anyag $\sigma_M = \sigma_M(\epsilon_M)$ görbéjének tangens modulusa, $\dot{\sigma}_{ij}$ – a Cauchy-feszültségtenzor Jaumann-féle deriváltja.

Az elmélet egyik alapvető feltevése szerint a mátrixban és a makroszkopikus anyagban a disszipációs teljesítmény azonos, vagyis

$$(1-f)\sigma_M \dot{\epsilon}_M^p = \sigma_{ij} \dot{\epsilon}_{ij}^p \quad (4)$$

ahol $\dot{\epsilon}_M^p$ – az egyenértékű képlékeny alakváltozási sebesség a mátrixban.

Az üregfejlődés fizikai folyamata két részből áll.

$$\dot{f} = \dot{f}_{nu} + \dot{f}_{gr} \quad (5)$$

Az (5) egyenlet első tagja az üregképződés, a második tagja az üreg-növekedés sebességét határozza meg.

$$\dot{f}_{gr} = (1-f)\dot{\epsilon}_{kk}^p \quad (6)$$

ahol $\dot{\epsilon}_{kk}^p$ – a makroszkopikus képlékeny alakváltozási sebességtenzor első skalár invariánsa

$$\dot{f}_{nu} = A \frac{E}{E - E_t} \dot{\epsilon}_M^p + \frac{1}{3} B \dot{\sigma}_{kk} \quad (7)$$

ahol E – a mátrix anyag rugalmassági modulusa, E_t – a mátrix anyag $\sigma_M = \sigma_M(\epsilon_M)$ görbéjének tangens modulusa, A, B – az üregkeletkezési folyamat szabályozó paraméterei.

Általánosan elfogadott, hogy az üregképződést vagy az alakváltozás, vagy a feszültség szabályozza. Chu és Needleman [4] szerint az első esetben az üregképződéshez szükséges alakváltozás normális eloszlást követ, amelynek középértéke ϵ_N szórása s_N .

$$A = \left(\frac{1}{E_t} - \frac{1}{E} \right) \frac{f_N}{s_N \sqrt{2\pi}} \exp \left\{ -\frac{1}{2} \left(\frac{\epsilon_M^p - \epsilon_N}{s_N} \right)^2 \right\}, \quad B = 0 \quad (8)$$

ahol f_N – a keletkezett üreg térfogati hányada.

Ha az üregképződést a feszültség szabályozza, az A, B paraméterek

$$A = B = \left(\frac{1}{E_t} - \frac{1}{E} \right) \frac{f_N}{s_N \sqrt{2\pi}} \exp \left\{ -\frac{1}{2} \left(\frac{\sigma_M + \sigma_{kk} - \sigma_N}{s_N} \right)^2 \right\} \quad (9)$$

ahol σ_N, s_N, f_N jelentése a fentihez hasonló. Az (5) kifejezést integrálva a (6)–(9) egyenletek figyelembevételével a mikroüreg hányad aktuális értékét kapjuk, amely természetesen a darab különböző pontjaiban különböző értékű.

$$f = f_0 + \int_0^t \dot{f} dt \quad (10)$$

ahol f_0 – a kezdeti mikroüreg térfogati hányad.

* BME Mechanikai Technológia és Anyagszerkezet-tani Intézet

Gurson eredeti elmélete nem foglalkozott a mikroüregek összenövésének problémájával, ami a szívós törés folyamatának egyik fontos eleme. Tvergaard és Needleman [5] úgy módosította a Gurson-féle elméletet, hogy az előbb említett jelenséget is beépítették egyenleteikbe. Ebben az esetben a folyási feltétel az alábbiak szerint alakult:

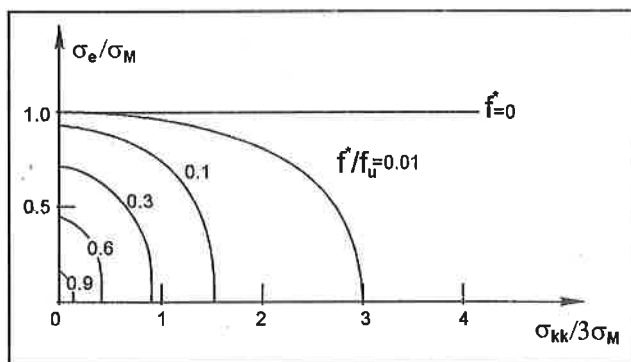
$$\phi = \frac{\sigma_e^2}{\sigma_M^2} + 2f' \operatorname{ch}\left(\frac{\sigma_{kk}}{2\sigma_M}\right) - 1 - (q_1 f')^2 = 0 \quad (11)$$

ahol q_1 paraméter értéke Tvergaard szerint 1.5, az f' károsodási paraméter a következő:

$$f' = f \quad \text{ha } f \leq f_c$$

$$f' = f_c + \frac{f_u - f_c}{f - f_c} (f - f_c) \quad \text{ha } f > f_c \quad (12)$$

f_c azt a kritikus térfogati hányadot jelöli, amelynél a mikroüregek összenövése megkezdődik, f_u – mikroüreg térfogati hányad a törésnél, f_u – a károsodási paraméter a törésnél $f_u = 1/q_1$, ekkor a mátrix teherviselő képessége kimerül. A folyási felület megjelenítése látható a 2. ábrán, ahol jól érzékelhető a hidrosztatikus feszültség és az üregek hatása

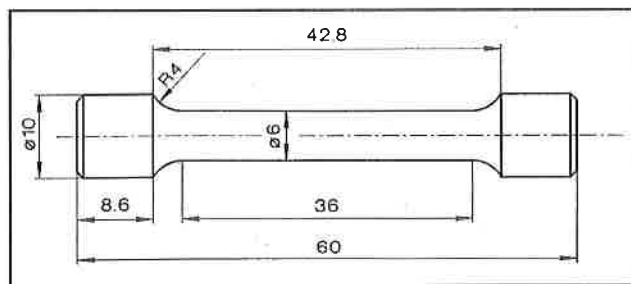


2. ábra Mikroüregekkel rendelkező test folyási felülete

A módosított Gurson-elmélet különösen az elmúlt évtizedben nagyon elterjedt szívós törési folyamatok vizsgálatára. Hét, fizikailag is értelmezhető paraméter segítségével (q_1 , f_0 , f_c , e_N vagy σ_N , s_N , f_N) a mikroüreg-fejlődés folyamata összekapcsolhatóvá vált a makroszkopikus kontinuum-mechanika alapegyenleteivel.

Mérések, számítások

Jelen munkában ezt az elméletet alkalmaztuk sima szakító próbatest alakváltozási és törési folyamatainak elemzésére. A számításokhoz szükséges mérési eredmények egy nemzetközi együttműködés keretében megvalósított numerikus tesztsorozat adatbázisából származnak [5], ahol is a német 22NiMoCr37 jelű ferrites acél szakítását vizsgálták. A vizsgálathoz használt próbatest geometriája a 3. ábrán látható, a próbatestek szakítását statikus körülmények között végezték.



3. ábra Szakító próbatest geometriája

Az előzetes kísérletekből ismert volt a mátrixanyag keményedési görbéje, 4. ábra (a Bridgmann-féle korrekció figyelembevételével határozták meg), amit az alábbi függvényel közelítettünk:

$$\sigma_M = c_1 - c_3 + c_2 (\epsilon_M^p)^{c_4} + c_5 \exp(c_5 \epsilon_M^p) \quad (13)$$

Az egyenlet paraméterei az 1. táblázatban találhatók:

1. táblázat

A mátrixanyag alakítási szilárdsága egyenletének paraméterei

c_1 MPa	c_2 MPa	c_3 MPa	c_4	c_5
451	2232.599	7405.98	0.754	-0.272

A mikromechanikai paramétereket az irodalmi adatok figyelembevételével [7–9] vettük fel és értékeik a 2. táblázatban találhatók.

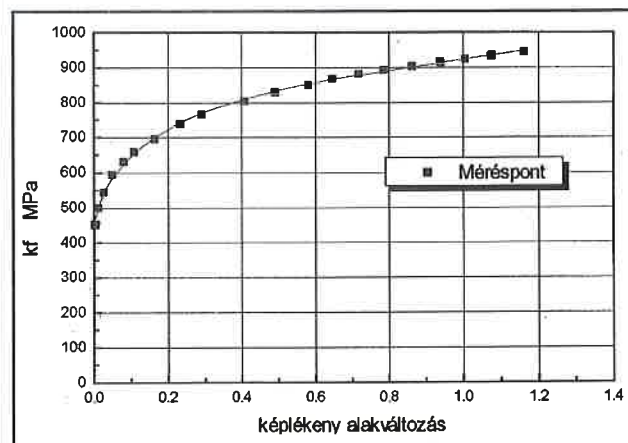
2. táblázat

Mikromechanikai paraméterek

q_1	f_0	f_c	f_u	e_N	σ_N	f_N
1.5	0.0053	0.15	0.3	0.3	0.1	0.1

A szakítás számítógépes modellezésére nemlineáris feladatokat megoldására szolgáló MARC [10] végeselemes rendszert használtuk, amely tartalmazza a módosított Gurson-féle elmélet alkalmazására szolgáló szubrutinokat. Egy teljes alakváltozási folyamat végigkövetése 350 számítási lépést (incrementet) igényelt.

A mikroüregek hatását kifejező modellen kívül a számításokat a hagyományos (mikroüreg nélküli) mechanikai modellel is elvégeztük. Az 3. ábrán látható próbatest-kialakítás azt eredményezte, hogy nem kellett a próbatest közepén egy mesterséges hibát bevinni a végeselemes hálóbba ahhoz, hogy a kontrakciós folyamat elkezdődjön.



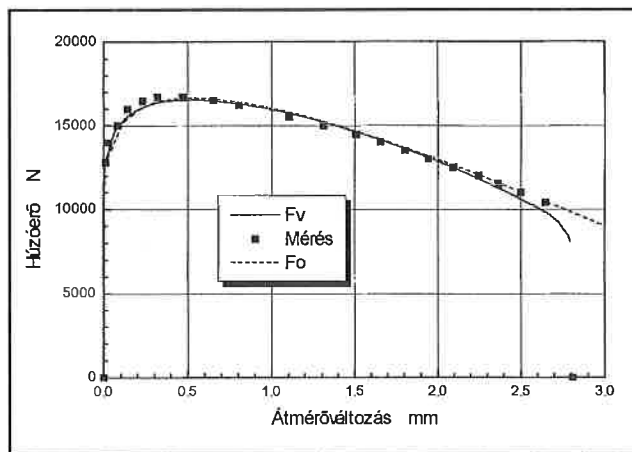
4. ábra Mátrixanyag alakítási szilárdság görbéje

A számítási és a mérési eredmények összevetésére a húzóerő változásnak a próbatest legkisebb átmérőjének függvényében felvett diagramját használtuk (5. ábra). A mérési és számítási eredmények nagyon jó egyezést adtak, ugyanakkor a klasszikus mechanika alapján létrehozott modell nem volt képes a szakítási folyamat végét követni.

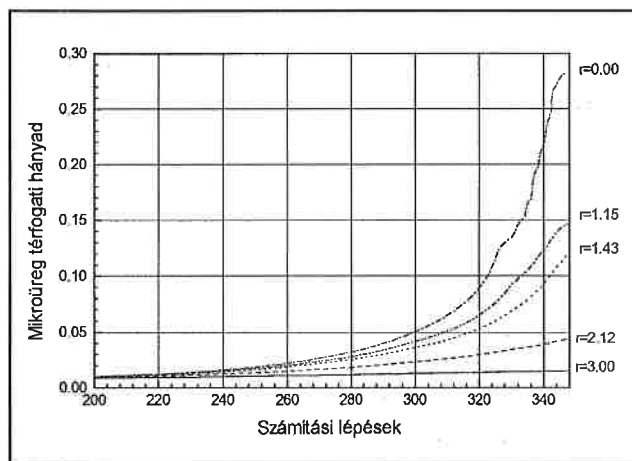
A módosított Gurson-féle modellel a repedés-keletkezés és terjedés folyamata is követhetővé vált, aminek a hatása a szakítási diagram menetének erőteljes megváltozásával van kapcsolatban (diagram vége).

A feladat globális jellemzőin túl érdekes megfigyeléseket lehetett tenni a lokális mennyiségekre is. Az alakítási folyamat előrehaladásával

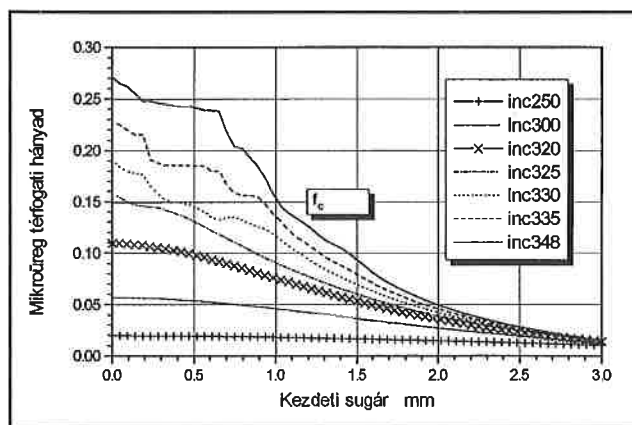
a mikroüregek eloszlása és mennyisége jelentősen változott (6.ábra). Jól érzékelhető ez a változás a 7.ábrán, ahol a próbatest legkisebb keresztmetszetében mutatjuk be a mikroüreg-eloszlást a szakítási folyamat különböző állapotaiban. Amint a próbatest valamely pontjában a mikroüreg hányad eléri az f_c értéket, az adott görbén törés figyelhető meg. A mikroüreg térfogati hányad próbatesten belüli eloszlása látható a 8. ábrán.



5.ábra A mért és számított húzóerő (Fo-károsodás nélküli eset, Fv-károsodásos eset) és a szakítópróbatest átmérőváltozásának kapcsolata

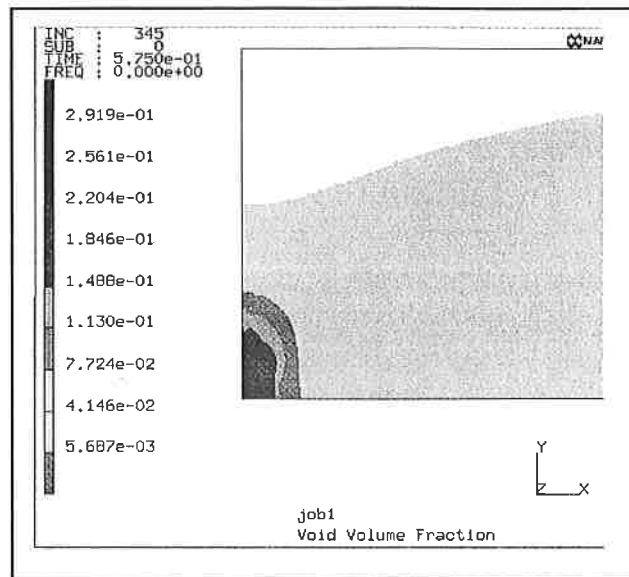


6.ábra A próbatest legkisebb keresztmetszetéhez tartozó pontjaiban a mikroüreg térfogati hányad változása a számítási lépések során



7.ábra A mikroüreg térfogati hányad változása a próbatest legkisebb keresztmetszetében a számítási folyamat különböző lépéseinél.

A 7.ábrán értelmezhető a mikroüregek hatására keletkezett repedés terjedése is. A repedés pillanatnyi hossza az f_c törési mikroüreg hányaddal jellemezhető.



8.ábra Mikroüreg térfogati hányad eloszlása a 340. számítási lépésnél

Összefoglalás

A szakítóvizsgálati mérések és a végeselemes számítások összevetése és a közöttük levő nagyon jó megegyezés azt bizonyítja, hogy a károsodás jelenségének bekapcsolása az alakítási folyamat modellezésébe fizikailag megalapozottabbá és numerikusan pontosabbá teszi a matematikai modellezést.

Irodalom

- [1] McClintock, F.A. A. Criterion for Ductile Fracture by the Growth of Holes. Journal of Applied Mechanics, Vol.35, 1968, pp. 363-371.
- [2] Rice, J.R. and Tracey, D.M., On the Ductile Enlargement of Voids in Triaxial Stress Fields. Journal of Mechanics and Physics of Solids, Vol.17, 1969, pp. 201-217.
- [3] Gurson, A.L., Continuum Theory of Ductile Rupture by Void Nucleation and Growth: Part I-Yield Criteria and Flow Rules for Porous Ductile Media. Journal of Engineering Materials and Technology. Vol.99, 1977, pp. 2-15.
- [4] Chu, C.C. and Needleman, A., Void Nucleation Effects in Biaxially Stretched Sheets. Journal of Engineering Materials and Technology. Vol.102, 1977, pp. 249-256.
- [5] Tvergaard, V. and Needleman, A., Acta Metallurgica, Vol.32, 1984, pp.157
- [6] Numerical Round Robin on Micromechanical Models. Technical Committee 8, Numerical Methods, of the European Structural Integrity .IWM-Bericht T 8/95.
- [7] Tvergaard, V. and Needleman, A., Analysis of the Cup-cone Fracture in Round Tensile Bar. Acta Metallurgica. Vol.32, 1984, pp.157-169.
- [8] Needleman, A., and Tvergaard, V., An Analysis of ductile rupture in notched bars. Journal of Mechanics and Physics of Solids. Vol.32. 1984, pp.461-490.
- [9] Ritchie, R.O., Knott, J.F. and Rice, J.R., On the relationship between critical tensile stress and fracture toughness in mild steels. Journal of Mechanics and Physics of Solids. Vol.21. 1973, pp.395-410.
- [10] MARC User Information, MARC Analysis Research Corporation, 1994.